ヒト SOX3-dsDNA 複合体の立体構造解析

上原秀太 ¹, 奥山ほのか ¹, 大城拓未 ¹, 小寺義男 ²³, 伊藤道彦 ², 松井崇 ²³ ¹ 北里大学 大学院理学研究科 , ² 北里大学 理学部 , ³ 北里大学 理学部附属疾患プロテオミクスセンター

Structure determination of human SOX3 HMG box-dsDNA complex

Shuta UEHARA¹, Honoka OKUYAMA¹, Takumi OSHIRO¹, Yoshio KODERA^{2,3}, Michihiko ITO², Takashi MATSUI^{2,3}

¹Graduate School of Science, Kitasato University, ²School of Science, Kitasato University

³Center for Disease Proteomics, School of Science, Kitasato University

Abstract

転写因子は遺伝子発現を制御する重要なタンパク質群である。転写因子の1つであるSOX3は、哺乳類の性決定を司る転写因子SRYの祖先型であると考えられており、メダカやカエルなどの一部の脊椎動物において性決定に関与する。本研究では、SRYとSOX3のDNA結合特性の違いを構造的に解析するため、ヒトSOX3と二本鎖DNAとの複合体構造をX線結晶構造解析により決定した。その結果、SOX3とSRYでDNA認識残基やリン酸との相互作用の違いより、転写因子に結合する二本鎖DNAの屈曲角を変えることが明らかとなった。

1. はじめに

1-1. 細胞分化に関与する転写因子 SOX ファミリー

タンパク質の発現制御には、抑制因子や促進因子となる タンパク質がそれぞれの調節領域となる DNA 配列と結合 することが必要である。さらに、遺伝子に特異的な抑制因 子や促進因子などの転写因子は特定の DNA 配列に結合す ることで転写をより正確に制御している。

ヒトの転写因子のうち、SOX タンパク質ファミリー(以 後, SOX タンパク質ファミリーを単に SOX タンパク質と 表記する)は発生の様々な段階で転写制御を担う転写因子 である。発生の各段階に対応するために、ヒトやマウスに は20種類のSOXタンパク質が存在する。また、その配列 的な特徴によって SOX タンパク質は 9 種類のサブグルー プに分けられる。例えば、サブグループである SOX B1 フ アミリーに属する SOX2 は初期胚と ES 細胞の多様性維持 における転写因子で、体細胞から人工の多能性幹細胞 (iPS 細胞) ヘリプログラミングする因子の1つである。また, SOX Cファミリーの SOX11 は顆粒細胞から顆粒ニューロ ンへの分化に関与し、SOX Fファミリーの SOX17 は内胚 葉の分化, SOX18 は血管リンパ管形成に関与している。 SOX タンパク質はこれらの発生の各段階に関与するだけ でなく、SOX A ファミリーの SRY は雌雄を決定する調 節因子でもある (Table 1)[1]。これらの異なるグループの SOX タンパク質の配列的な類似性は低いものの、共通し た DNA 結合ドメインである high mobility group (HMG) ボ ックスは高いアミノ酸配列保存性を示す。

1-2. SOX タンパク質群の DNA 認識機構

HMG ボックスの高い配列相同性が調節領域となる DNA との結合に重要であると考えられる。しかし、SOX タンパク質が調節する表現型はそれぞれ異なることから、HMG ボックス内で保存性の低いアミノ酸が調節領域の DNA に対する選好性を生んでいると考えられている。そこで、DNA 認識機構の違いを理解するために、ヒト

Table 1 Summary of the SOX family comprises nine groups.

Member	Chromosomal positions
CDV	<u> </u>
	Yp11.2
00/11	13q34
SOX2	3q26.33
SOX3	Xq27.1
SOX14	3q22.3
SOX21	13q32.1
SOX4	6q22.3
SOX11	2q25.2
SOX12	20p13
SOX5	12p12.1
SOX6	11p15.2
SOX13	1q32.1
SOX8	16p13.3
SOX9	17q24.3
SOX10	22q13.1
SOX7	8p23.1
SOX17	8q11.23
SOX18	20q13.33
SOX15	17p13.1
SOX30	5q33.3
	SRY SOX1 SOX2 SOX3 SOX14 SOX21 SOX4 SOX11 SOX12 SOX5 SOX6 SOX13 SOX8 SOX9 SOX10 SOX7 SOX17 SOX18 SOX15

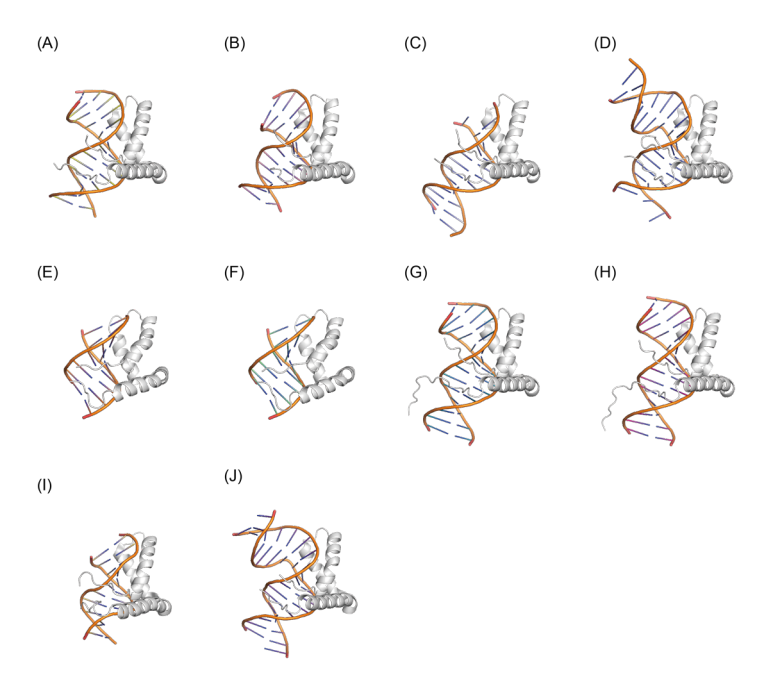


Figure 1 Crystal structures of SOX family bound with dsDNA. Crystal structures of (A) SOX2 (PDB 1OX4), (B) SOX9 (PDB 4EUW), (C) SOX11 (PDB 6T78), (D) SOX17 (PDB 6L6Y), (E)-(J) SRY (PDB 1HRY, 1HRZ, 1J46, 1J47, 2GZK, and 9BVD) are shown.

の SOX タンパク質のうち, SOX2 (PDB 1O4X)[2], SOX9 (PDB 4EUW), SOX11 (PDB 6T78)[3], SOX17 (PDB 6L6Y), SRY (PDB 1HRY[4], 1HRZ[4], 1J46[5], 1J47[5], 2GZK[6], 9BVD[7]) の 5 種 類 で HMG ボックスと二本鎖 DNA (dsDNA) との複合体構造が X 線結晶構造解析や溶液 NMR により解析されてきた (Fig. 1)。これらの結果から、HMG ボックスは3本のヘリックス $(\alpha 1, \alpha 2, \alpha 3)$ と両末端にある 2つのループが L 字型に折り畳まれる構造を形成すること がわかっている。さらに、HMG ボックスは保存された芳 香族アミノ酸の疎水性相互作用により構造を安定化させ ていた。また、HMG ボックスは塩基特異的相互作用とリ ン酸やリボースなどに相互作用する塩基非特異的相互作 用により DNA と結合していた。したがって、塩基特異的 相互作用がDNAへの選好性を発揮していると考えられる。 しかしながら, アミノ酸配列相同性を比較すると, 塩基 特異的に DNA と相互作用するほぼ全てのアミノ酸が SOX タンパク質間で保存されている矛盾も示していた。さら に、異なる SOX タンパク質間でアミノ酸が保存されてい ても, 異なる相互作用を形成しているケースも存在するこ とから、その相互作用機構は十分に理解できていないのが 現状である。

1-3. 哺乳類の性決定

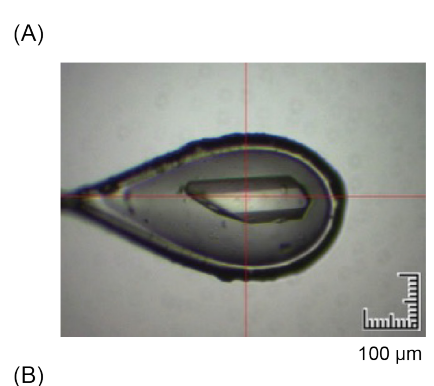
哺乳類における性決定に関わる SRY には,全長 204 残基のうち 55 番目から 141 番目 (87 残基) に HMG ボックスが存在する。SRY-dsDNA 複合体の結晶構造解析 (PDB 9BVD)[7] により、SRY は前述した他の SOX タンパク質同様に dsDNA に結合し、dsDNA を屈曲させる事で SOX9 の転写を調節すると考えられている [5]。

一方, インドメダカやツチガエルをはじめとした他の生

物では雌雄を決定する遺伝子は SOX3 であると言われており [8,9], SOX3 は SRY の祖先型タンパク質であると考えられている。また、ヒト SOX3 とヒト SRY の HMG ボックスは 73% の配列相同性を示すものの、DNA 配列への選好性の違いが示唆されている。そこで、本研究ではヒト SRY とヒト SOX3 中の HMG ボックスに着目し、まだ構造が不明である SOX3 HMG ボックスの X線結晶構造解析によって、ヒトにおいて SRY が性決定を担う分子機構の一端を解明することを目指した。

SOX3 HMG ボックスの大量調製と dsDNA との複合体 の結晶化

ヒト SOX3 HMG ボックスと HMG ボックスが認識す る dsDNA との複合体の立体構造を解析するために、ヒ ト SOX3 HMG ボックスの大量調製を進めた。ヒト SOX3 HMG ボックスのN末端側にHis。タグとリンカー配列を含 む融合タンパク質(以後, His。タグ融合ヒト SOX3 HMG ボックスを SOX3 とのみ表記する)を発現する大腸菌発現 プラスミドを設計し、大腸菌異種発現系で大量発現した。 大量発現された SOX3 は Ni アフィニティクロマトグラフ ィーと陽イオン交換クロマトグラフィーに供することで, 高純度な SOX3 の精製に成功した。得られた SOX3 は化 学合成した dsDNA と混合したのち、ゲルシフトアッセイ により SOX3 と dsDNA の混合比を求めた。次に、ゲルシ フトアッセイで求めた混合比に従って SOX3 と dsDNA を 混合した試料を用いてシッティングドロップ蒸気拡散法 によって結晶化し、複合体の初期結晶を得た。その後、初 期結晶の結晶化条件を詳細に検討することで, 分解能が 改善し、最高分解能 2.73 Å の複合体結晶を得ることに成 功した (Fig. 2A)。



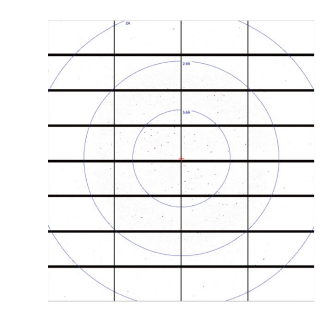


Figure 2 The crystals and X-ray diffraction of SOX3-dsDNA complex.

(A) Crystal for diffraction experiment. (B) X-ray diffraction of SOX3-dsDNA.

3. SOX3-dsDNA 複合体の構造解析

得られた複合体結晶は、高エネルギー加速器研究機構フ オトンファクトリーの BL-1A を利用して、SOX3-dsDNA 複合体のX線回折像を取得することに成功した(Fig. 2B)。 得られた回折データは既存の SOX タンパク質 -dsDNA 複 合体構造を鋳型として分子置換を行った。しかし、これら の複合体中の dsDNA の配列長の違いや屈曲角のわずかな 違いなどによって (Fig. 1), どの複合体を鋳型としても分 子置換法による位相決定は難航した。そこで、タンパク 質-核酸複合体の予測も可能となった AlphaFold3 (https:// alphafoldserver.com/)[10] を用いて SOX3-dsDNA 複合体の 予測構造を作成し, 予想構造を鋳型として分子置換した。 その結果,非対称単位中に2組のSOX3-dsDNA複合体を 有する結晶構造が得られた (Fig. 3)。 SOX3 は他の SOX タ ンパク質と同様にN末端とC末端のループ,3つのヘリ ックス、それらのヘリックスを繋ぐループで形成されてい た。ロイシンジッパーやホメオドメイン, Zn フィンガー などの一般的な転写因子は dsDNA の二重らせん構造に見 られる幅の広い溝(主溝)に結合する[11-13]。一方, こ れらとは異なり、SOX3 は既知の SOX タンパク質同様に 二重らせん構造の幅の狭い副溝に結合していた。次に、非 対称単位中に存在する2つのSOX3-dsDNA複合体を重ね 合わせて非対称単位中の2分子間の違いを評価した。構造 の違いは、SOX3 に対してはすべての主鎖 Cα原子、DNA に対してはすべてのリン原子の同一原子間の位置のずれ の根平均二乗偏差(Root Mean Square Deviation, RMSD)に より評価した。その結果, SOX3では0.42 Å, センス鎖

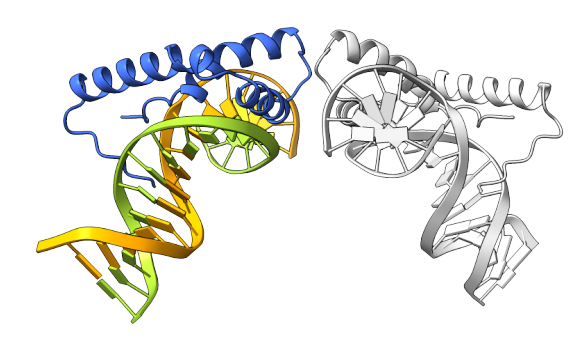
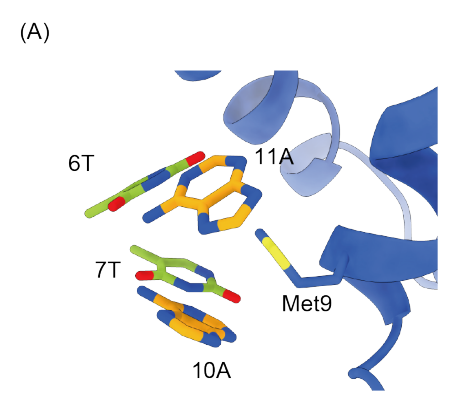


Figure 3 Crystal structures of SOX3-dsDNA in the asymmetric unit. SOX3, sense and antisense DNAs in one complex structure represent blue, sky-blue and wheat cartons, respectively. Another molecule in the asymmetric unit shows white cartons.

DNA では 1.23 Å, アンチセンス鎖 DNA では 0.96 Å で, 非対称単位中の 2 分子はよく一致した構造を示した。

4. まとめと今後の展望

多くの SOX タンパク質と dsDNA との複合体構造解析が得られてきたが (Fig. 1) [2-7,14-16], これまで SOX3 の立体構造は不明であった。今回, タンパク質 - 核酸複合体予測モデルを生成できるように改善された AlphaFold3 を活用し、予測モデルを分子置換の鋳型として利用することで、世界で初めて SOX3 と dsDNA との複合体構造を決定する



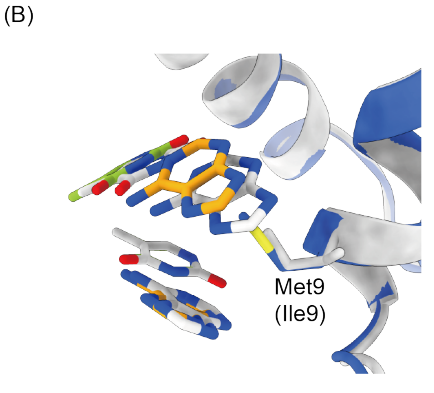


Figure 4 Closeup view of the DNA bending site. (A) Closeup view of the DNA bending site of SOX3. (B) Structural comparison of the DNA bending site between SOX3 and SRY. SOX3, bases in sense and antisense DNAs bound with SOX3, SRY, and bases in dsDNA bound with SRY represent as blue cartoon, green sticks, orange sticks, gray cartoon and gray sticks, respectively.

ことに成功した(Fig. 3)。ヒトSRY-dsDNA複合体構造(PDB 9BVD)と、その祖先型であり、本研究で構造決定したヒト SOX3-dsDNA複合体構造を比較すると、dsDNAを屈曲させる Phe8と Met9 (SRYでは Ile9)側鎖の配置に違いが見られることがわかった (Fig. 4)。また、3DNA[17]を用いて Phe8 および Met9 (SRYでは Ile9)と相互作用している塩基の屈曲角を求めると、SOX3では SRY より大きな屈曲角の値を示した。このように、現在までに SOX3と SRYの複合体立体構造の比較から、相互作用の違いに関与している残基を複数見出すことに成功している。今後、構造から推定した SOX3と dsDNAとの相互作用に重要と想定される残基の点変異体を調製し、機能解析を進めることで SRY とその祖先型タンパク質である SOX3との構造 - 機能相関の相違を明らかにしていきたい。

謝辞

本研究のX線回折実験は、高エネルギー加速器研究機構フォトンファクトリーの共同利用実験(課題番号2021G507, 2023G511)によって実施してきた研究成果であり、ビームラインスタッフの皆さまに大変お世話になりましたことを重ねて御礼申し上げます。

引用文献から

- [1] Jiang J., Wang Y., Sun M., Luo X., Zhang Z., Wang Y., Li S., Hu D., Zhang J., Wu Z., Chen X., Zhang B., Xu X., Wang S., Xu S., Huang W. and Xia L., Cell Death Discov. 10, 67 (2024).
- [2] Williams D. C., Cai M., and Clore G. M., J. Biol. Chem. 279, 1449-1457 (2004).
- [3] Dodonova S.O., Zhu F., Dienemann C., Taipale J., and Cramer P., Nature **580**, 669 (2020).
- [4] Werner M.H., Huth J.R., Gronenborn A.M., and Clore G.M., Cell **81**, 705 (1995).
- [5] Murphy E.C., Zhurkin V.B., Louis J.M., Cornilescu G., and Clore G.M., J. Mol. Biol. 312, 481 (2001).
- [6] Stott K., Tang G.S.F., Lee K.B., and Thomas J.O., J. Mol. Biol. **360**, 90 (2006).
- [7] Racca J.D., Chen Y.S., Brabender A.R., Battistin U., Weiss M.A., and Georiadis M.M., J. Biol. Chem. 300, 107683 (2024).
- [8] Miura I., Hasegawa Y., Ito M., Ezaz T., and Ogata M., Biomolecules. **14**, 14121566 (2024).
- [9] Takehara Y., Matsuda M., Myosho T. Suster M.L., Kawakami K., Shin-I T., Kohara Y., Kuroki Y., Toyoda A., Fujiyama A., Hamaguchi S., Sakaizumi M., and Naruse K., Nat. Commun. 5, 5157 (2014).
- [10] Abramson J., Adler J., Dunger J., Evans R., Green T., Pritzel A., Ronneberger O., Willmore L., Ballard A.J., Bambrick J., Bodenstein S.W., Evans D.A., Hung C.C., O'Neill M., Reiman D., Tunyasuvunakool K., Wu Z., Žemgulytė A., Arvaniti E., Beattie C., Bertolli O.,

Bridgland A., Cherepanov A., Congreve M., Cowen-Rivers A.I., Cowie A., Figurnov M., Fuchs F.B., Gladman H., Jain R>, Khan Y.A., Low C.M.R., Perlin K., Potapenko A., Savy P., Singh S., Stecula A., Thillaisundaram A., Tong C., Yakneen S., Zhong E.D., Zielinski M., Žídek A., Bapst V., Kohli P., Jaderberg M., Hassabis D., and Jumper J.M., Nature. **630**, 493 (2024).

- [11] Keller W., Köning P., and Richmond T.J., J Mol. Biol. **254**, 657 (1995).
- [12] Klemm J.D., Rould M.A., Aurora R., Herr W., and Pabo C.O., Cell 77, 21 (1994).
- [13] Pavletich N.P., Pabo C.O., Science 252, 809 (1991).
- [14] Jauch R., Ng C.K.L., Narashimhan K., and Kolatkar P.R., Biochem. J. 443, 39 (2012).
- [15] Palasingam P., Jauch R., Ng C.K.L., and Kolatkar P.R., J. Mol. Biol. 388, 619 (2009).
- [16] Klaus M., Prokoph N., Girbig M., Wang X., Huang Y.H., Srivastava Y., Hou L., Karasimhan K., and Kolatkar P.R., Nuc. Acid. Res. 44, 3922 (2016).
- [17] Li S., Olson W.K., and Lu X.J., Nuc. Acid. Res. 47, W26 (2019).

(原稿受付日:2025年9月4日)

著者紹介

上原秀太 Shuta UEHARA



株式会社ホギメディカル 研究開発本部 ND 部 〒 300-0427

茨城県稲敷郡美浦村布佐 1873-1 略歴: 2025 年北里大学大学院 修士課程修了

最近の研究:R-SUD(単回使用医療機器の再製造)事業に おける研究開発業務

奥山ほのか Honoka OKUYAMA



北里大学大学院理学研究科博士後期課程 3 年〒 252-0373 神奈川県相模原市南区北里 1-15-1

e-mail: okuyama.honoka@st.kitasato-u.ac.jp

略歴: 2023 年北里大学大学院 博士後期課程入学 最近の研究: 哺乳類の性決定遺伝子 Sry の分子進化機構の 解析

趣味:自家製酵母を用いたパン作り、博物館巡り

伊藤道彦 Michihiko ITO



北里大学理学部 准教授 〒 252-0373 神奈川県相模原市南区北里 1-15-1 e-mail: ito@sci.kitasato-u.ac.jp

略歷:1990年東京大学大学院博士課程修

了(農学博士),1990年三菱化学生命科学研究所特別研究

員,1991年北里大学衛生学部助手,1994年北里大学理学 部助手,2000年北里大学理学部講師,2007年より現職。 最近の研究:性決定システム進化、利己的DNAを介する

種分化、生命進化視点からの人類社会進化

趣味:アート鑑賞・生命進化系創作ラップ

松井崇 Takashi MATSUI



北里大学理学部 准教授 〒 252-0373 神奈川県相模原市南区北里 1-15-1 e-mail: matsui@kitasato-u.ac.jp

略歷: 2007 年北里大学大学院基礎生命科

学研究科博士課程修了,2007年三菱化学生命科学研究所特別研究員,2009年産業技術総合研究所産総研特別研究員,2010年北海道大学先端生命科学研究院博士研究員,2012年富山大学和漢医薬学総合研究所助教,2017年東北大学生命科学研究科助教,2019年北里大学理学部講師を経て2024年より現職。博士(理学)

最近の研究:質量分析計を用いたタンパク質の構造状態の 可視化

趣味:サッカー観戦(鹿島アントラーズ), ドライブ